



有機FETにおける特性支配要因理解のための 放射光利用結晶構造解析

奈良先端科学技術大学院大学
中村 雅一



共同研究者：

奈良先端大 松原 亮介 助教
岩手大学 吉本 則之 教授
JASRI 廣沢 一郎 博士
JASRI 小金澤 智之 博士
東京工業大 真島 豊 教授
産総研 大橋 昇 博士



Electronics on Any Surface!

<http://mswebs.naist.jp/LABs/greendevice/>



科学研究費補助金：
基盤研究（B）No. 21350099
挑戦的萌芽研究 No. 23655171



千葉大学グローバルCOEプログラム
有機エレクトロニクス高度化スクール

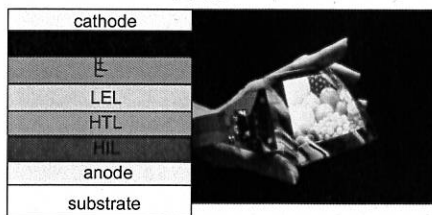
アウトライン

- ➡ 1. 有機エレクトロニクスとトランジスタ
- 2. ペンタセン結晶ドメイン中のHOMOバンド端ゆらぎ
- 3. GIXDによるバンド端ゆらぎの起源の解明
- 4. 結晶子サイズ決定要因の普遍性
- 5. まとめ

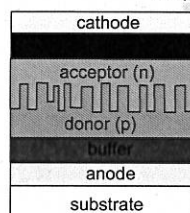


有機エレクトロニクス

LED

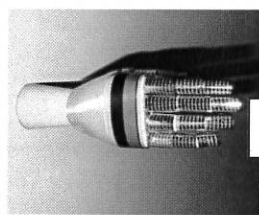


太陽電池

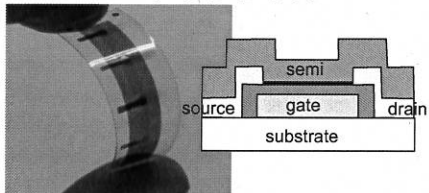


有機エレクトロニクス
・フレキシブルエレクトロニクス

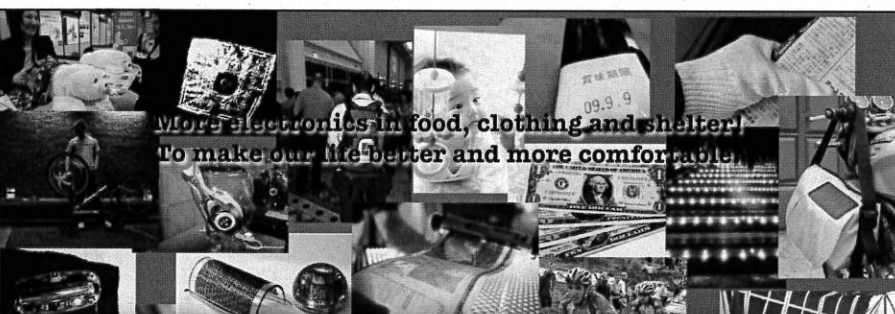
センサ



トランジスタ



- ・低いプロセス温度
- ・機械的フレキシビリティ



What we are aiming at: Electronics on Any Surface!



What we are aiming at: Electronics on Any Surface!

有機フレキシブルエレクトロニクスの本質的なメリット

•作製プロセスが低温

作製に要するエネルギーが少ない
ポリマー基板が使える



•フレキシブル性

曲面でも使いやすい
可搬性が高い、破損しにくい

•軽量性

輸送に要するエネルギーが少ない
重量増を嫌う用途にも使いやすい

What we are aiming at: Electronics on Any Surface!

主要な技術的 requirement

•原料大量確保の容易性

元素資源、リサイクル性

•構築可能な電子回路の多様性

幅広いスペックのTr.、各種センサ

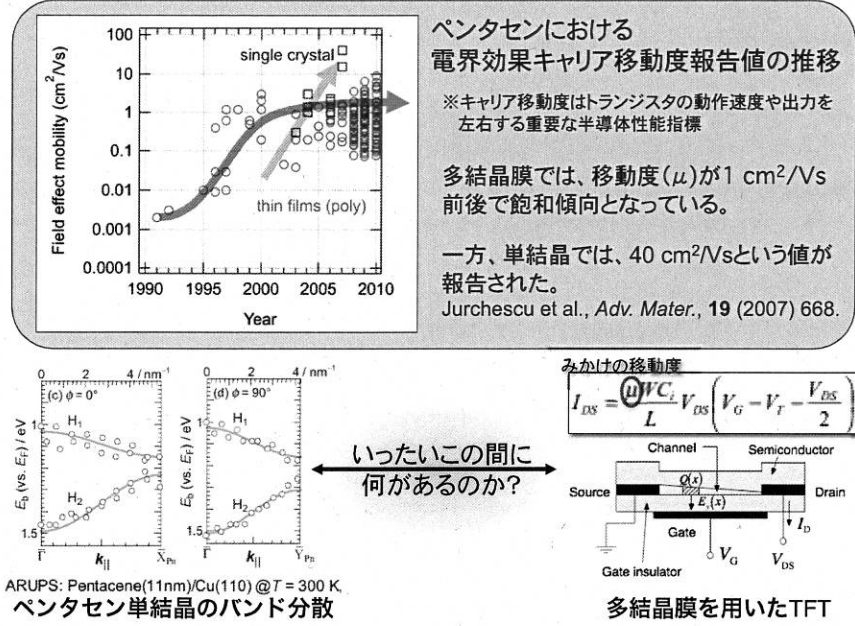
•あちこちの「表面」間での情報伝達

電波、赤外線？

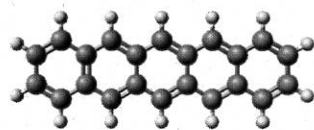
•様々な「表面」での電源の確保

電源ラインが確保できないときにどうする？

我々の研究の大きな目的: 基本素子としてのTFT高性能化

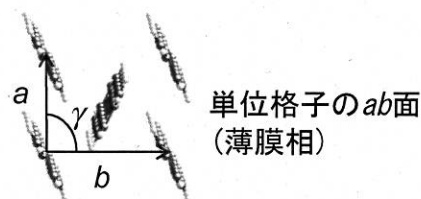


有機TFT用半導体材料の定番: ペンタセンの結晶構造



ペンタセンの分子構造

- 一般的に三斜晶
- 成長条件や膜厚によって様々な多形
(薄膜相、バルク相、単結晶相、etc.)

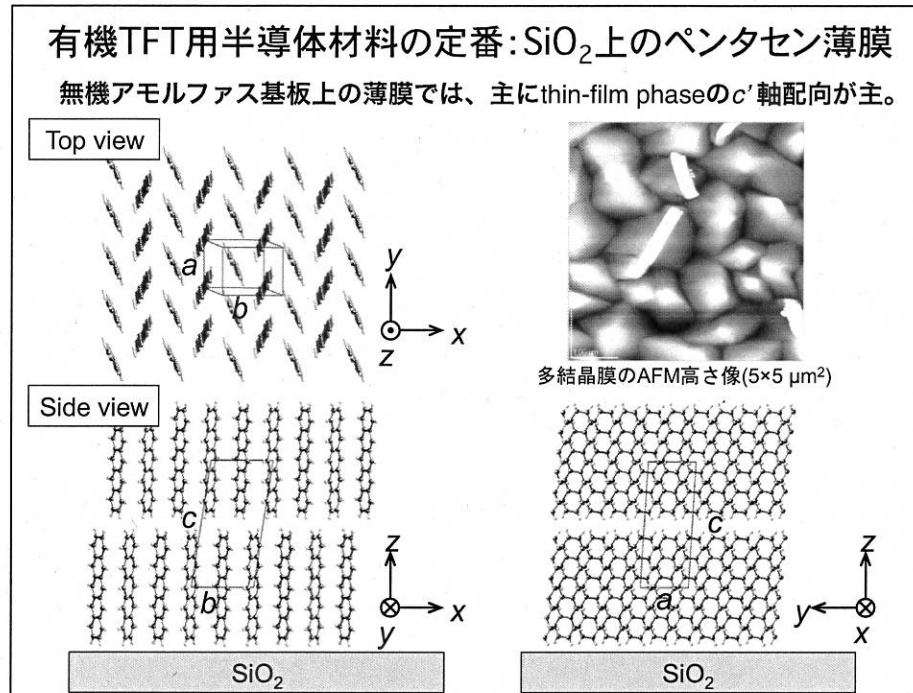


SiO_2 上に成長したペンタセン薄膜相の格子パラメーター

	a (nm)	b (nm)	c (nm)	α (deg)	β (deg)	γ (deg)
Nabok et al. PRB (2007)	0.592	0.754	1.563	81.5	87.2	89.9
Yoshida et al. APL (2007)	0.593	0.756	1.565	98.6	93.3	89.8
Schiefer et al. JACS (2007)	0.596	0.760	1.561	81.3	86.6	89.8
Kakudate et al. APL (2007)	0.594	0.754	1.54	-	-	89.5
Our group	0.592	0.757	1.53	-	-	-

有機TFT用半導体材料の定番: SiO₂上のペンタセン薄膜

無機アモルファス基板上の薄膜では、主にthin-film phaseのc'軸配向が主。

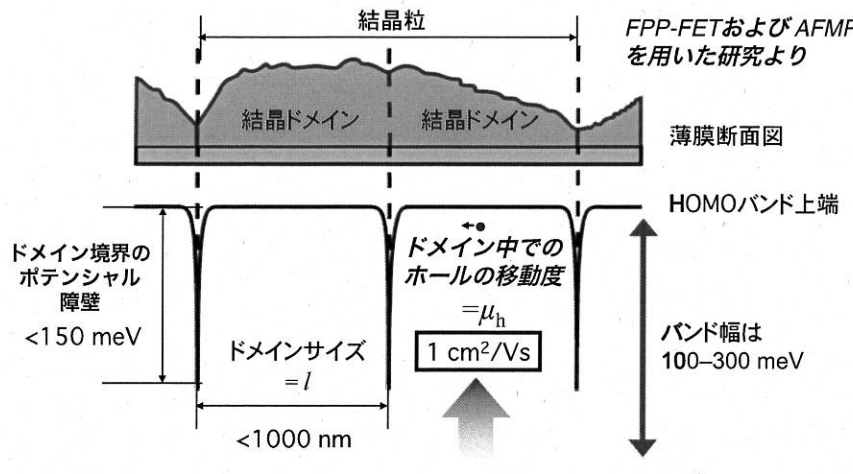


アウトライン

1. 有機エレクトロニクスとトランジスタ
2. ペンタセン結晶ドメイン中のHOMOバンド端ゆらぎ
3. GIXDによるバンド端ゆらぎの起源の解明
4. 結晶子サイズ決定要因の普遍性
5. まとめ

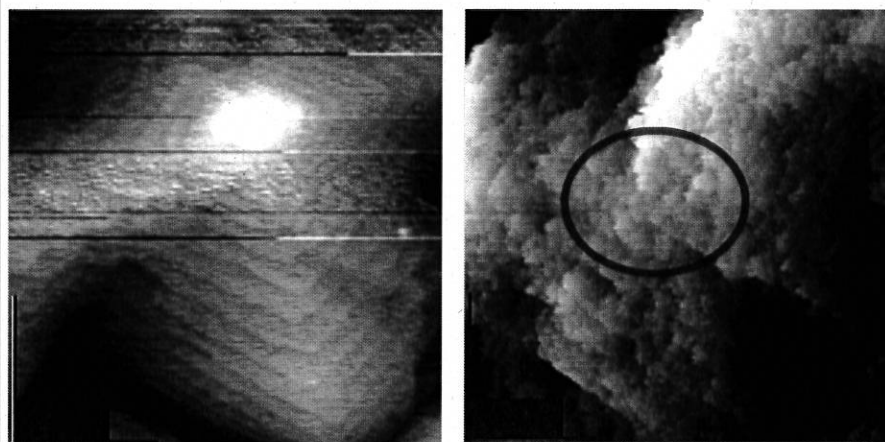


**本研究の開始点:
現実のTFT中(SiO_2 上)でのペントセンバンド構造**



[1] R. Matsubara et al., *Appl. Phys. Lett.* **92** (2008) 242108.

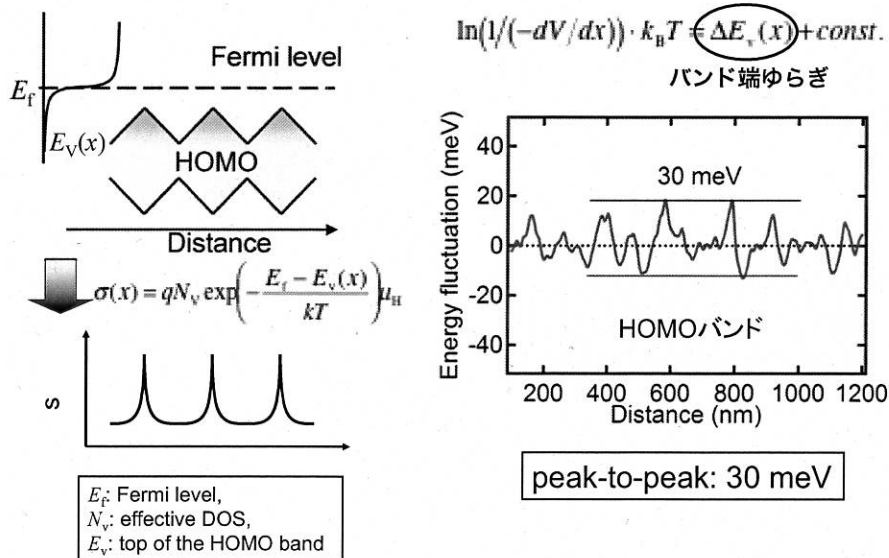
容疑者発見!



TFTの動作時電位分布を詳しく見ると、結晶ドメイン中に導電率ムラが存在している。

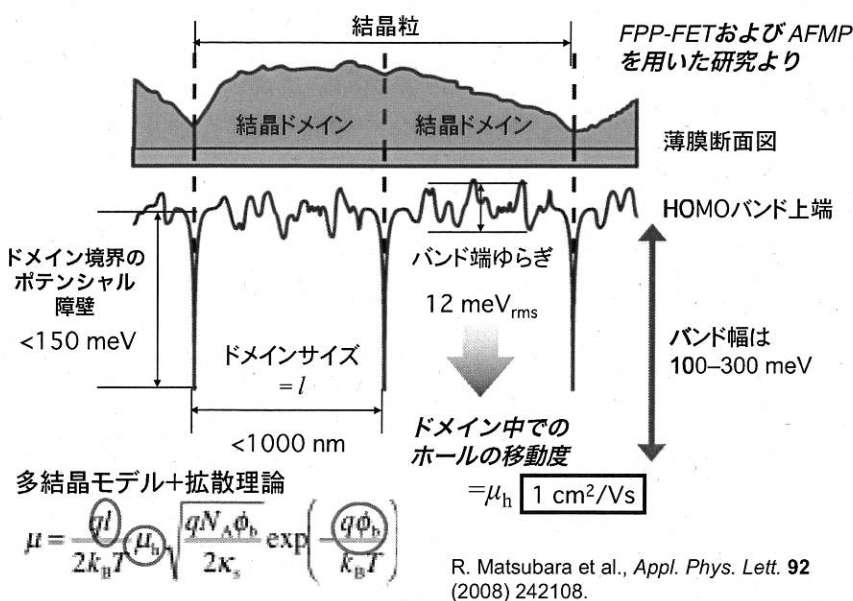
N. Ohashi et. al., *Appl. Phys. Lett.*, **91** (2007) 162105.

HOMOバンド上端のゆらぎ解析



N. Ohashi et. al., *Appl. Phys. Lett.*, **91** (2007) 162105.

ペンタセン多結晶薄膜中のキャリア輸送バンド端プロファイル



アウトライン

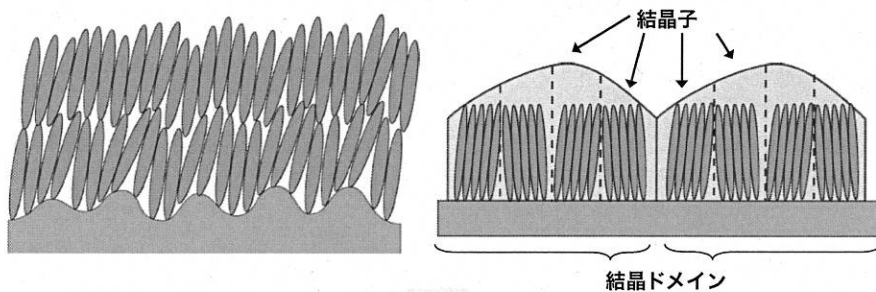
1. 有機エレクトロニクスとトランジスタ
2. ペンタセン結晶ドメイン中のHOMOバンド端ゆらぎ
3. GIXDによるバンド端ゆらぎの起源の解明
4. 結晶子サイズ決定要因の普遍性
5. まとめ



In-plane GIXDによる結晶構造解析の目的

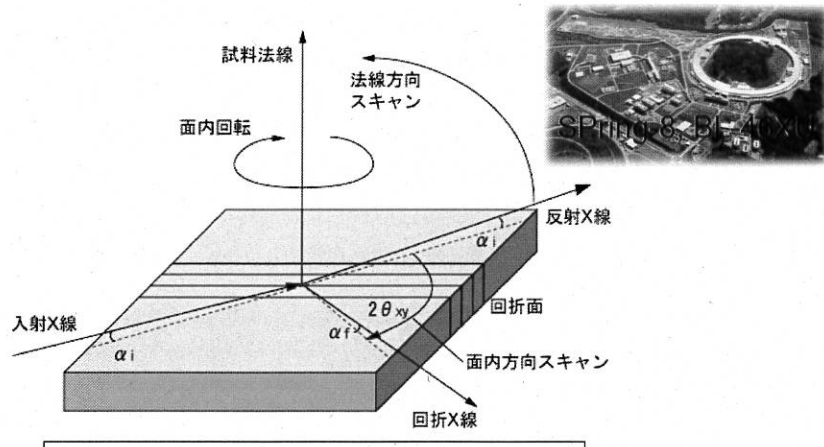
バンド端ゆらぎの起源となる結晶構造には二種類の候補がある

- ① 基板表面の凹凸などによる、
单一結晶ドメイン内の
不均一歪み
- ② 結晶ドメイン内における、
さらに小さな結晶構成単位
(モザイク結晶)



微小角入射面内X線回折(in-plane GIXD) の回折ピーク幅より、
基板面内方向の結晶子サイズなどを求め、ゆらぎの起源を考察する。

微小角入射面内X線回折(in-plane GIXD)



全反射臨界角以下の角度で入射し、回折が非常に薄い膜(10~20 nm)で起こるため、平行度が高く、強度が強いX線が必要

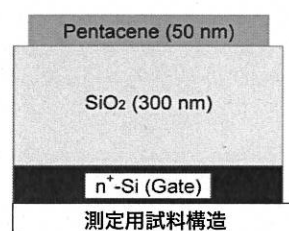
→ SPring-8の放射光を利用

実験方法

試料作製方法

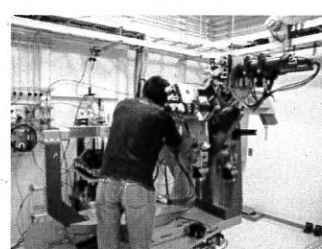
電気測定を行った試料と同じ方法で作製

- (1) n⁺-Siに熱酸化膜形成(300 nm)
- (2) 有機洗浄およびUV/O₃処理(SAMなし)
- (3) 分子線蒸着法でペンタセンを蒸着
成長条件
 - ・ 真空度: 5×10^{-8} Pa
 - ・ 成長速度: 0.3 nm/min
 - ・ 成長温度: 5, 20, 40, 60, 80, 100°C
(平均結晶ドメインサイズ: 200 nm~2.5 μm)
 - ・ 平均膜厚: 50 nm

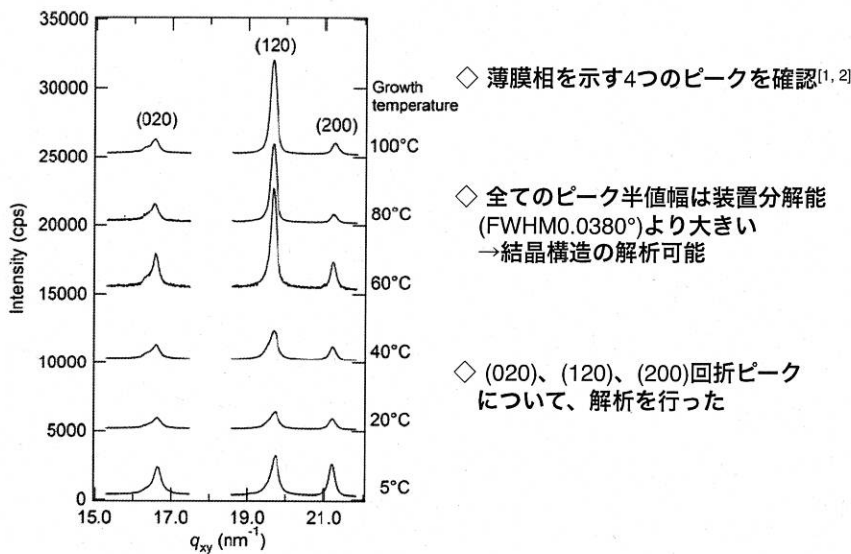


in-plane GIXD測定

- ・ X線源 ... Spring-8, BL-46XU (波長1 Å)
HUBER社製ゴニオメータ
(分解能を高めるためにLiFアナライザ
結晶を使用)
- ・ 測定環境 ... 室温、He雰囲気
- ・ X線入射角 ... 0.12° (全反射条件より)



ペンタセンのGIXDパターン



[1] T. Kakudate and N. Yoshimoto, Appl. Phys. Lett. 90, 081903 (2007).

[2] S. E. Fritz et al., J. Am. Chem. Soc. 126, 4084 (2004).

結晶子サイズの解析方法

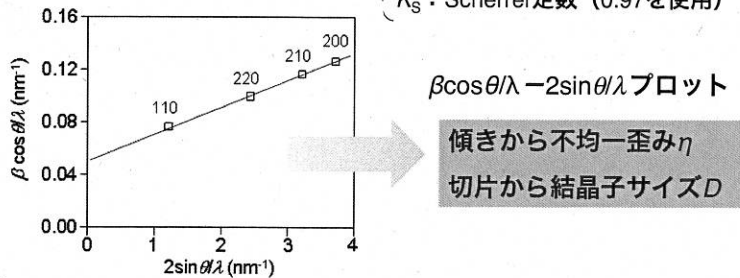
ピークの半値幅は何で決まるか？（装置関数除く）

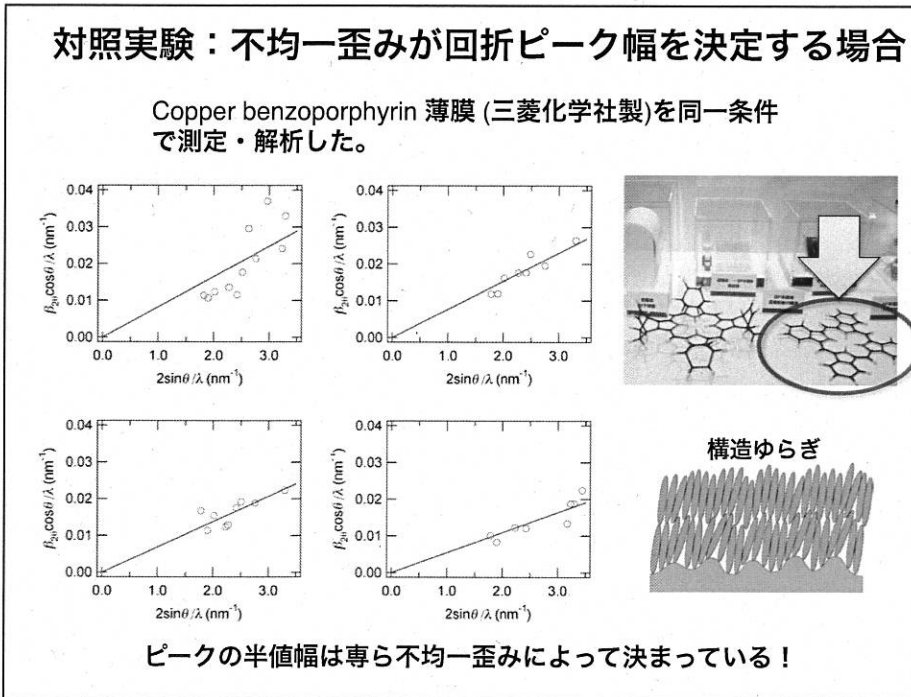
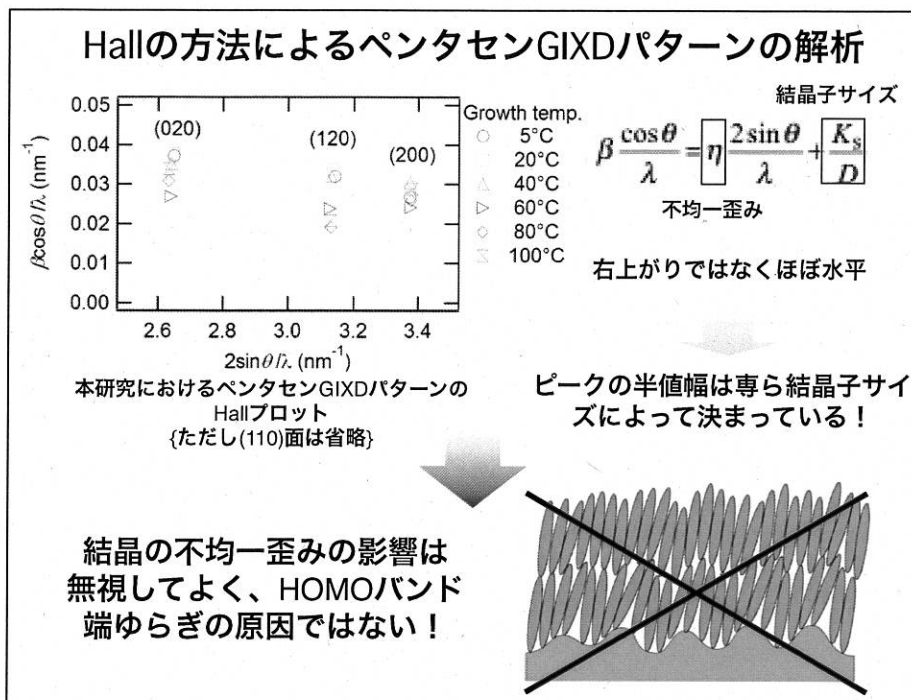
→ 有限の大きさを持つ結晶子、結晶の不均一歪み

Hallの方法 → → → 結晶子と不均一歪みを考慮した解析方法

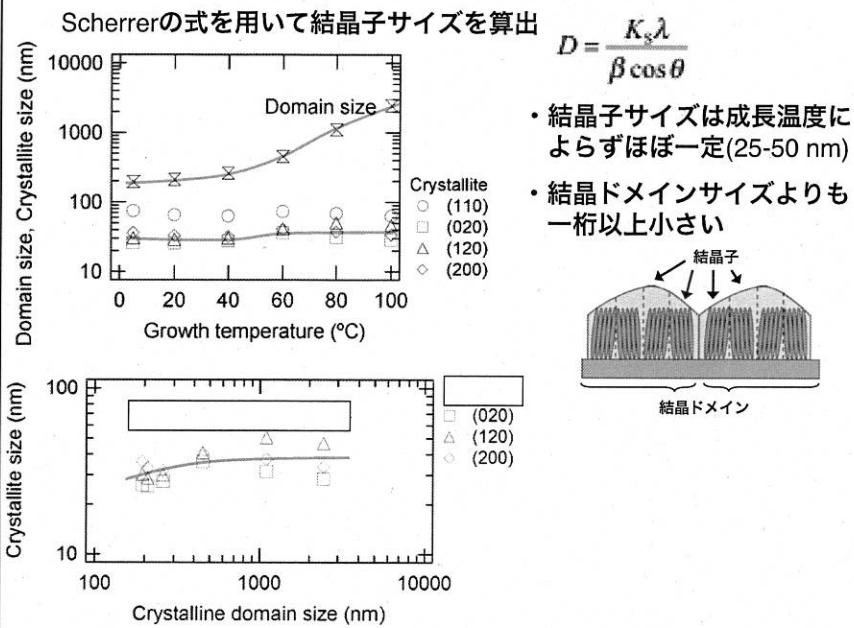
$$\beta \frac{\cos \theta}{\lambda} = \eta \frac{2 \sin \theta}{\lambda} + \frac{K_s}{D}$$

$\left. \begin{array}{l} \beta: \text{ピーク半値全幅} \\ \lambda: X\text{線波長} (1 \text{ \AA}) \\ \eta: \text{不均一歪み} \\ D: \text{結晶子サイズ} \\ K_s: \text{Scherrer定数 (0.97を使用)} \end{array} \right\}$

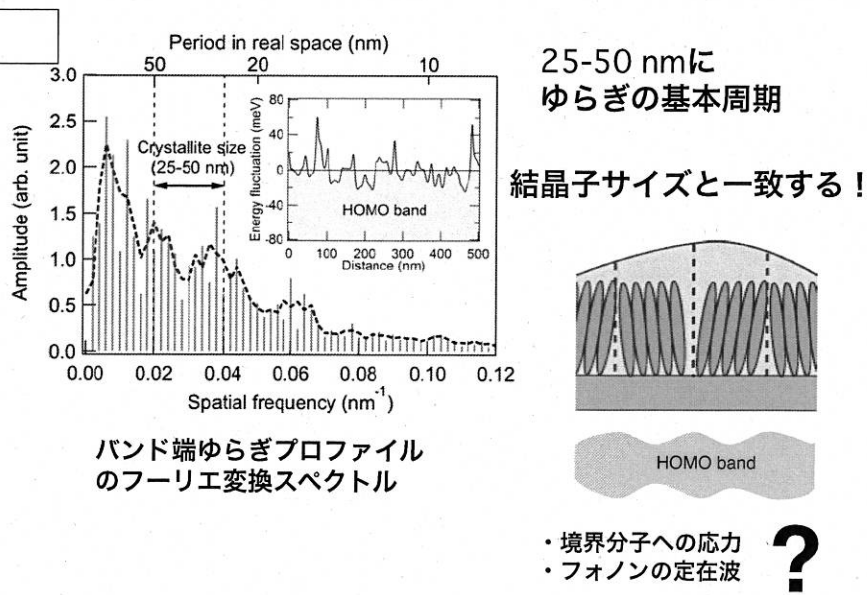


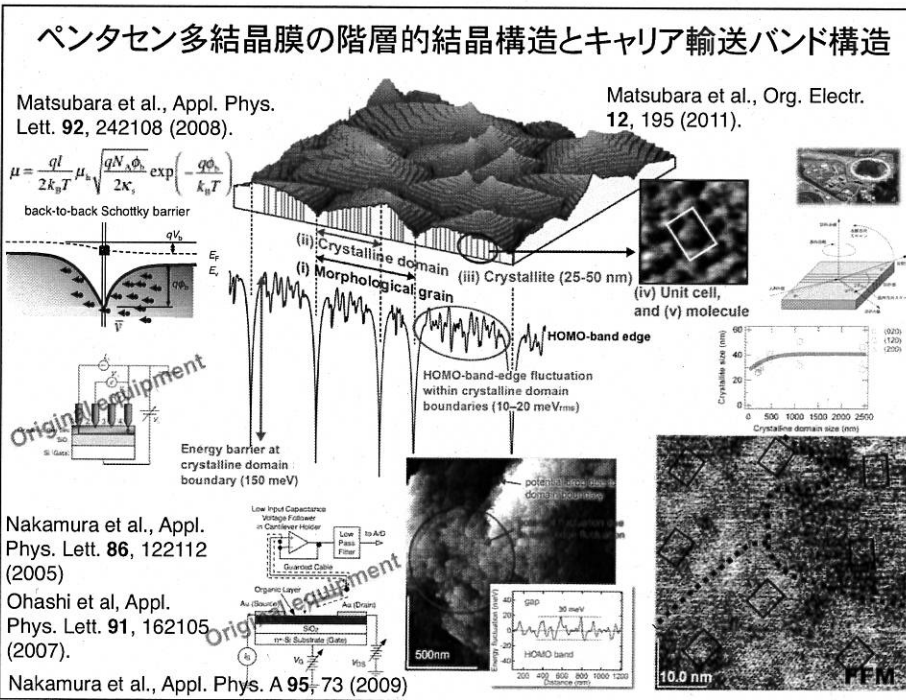
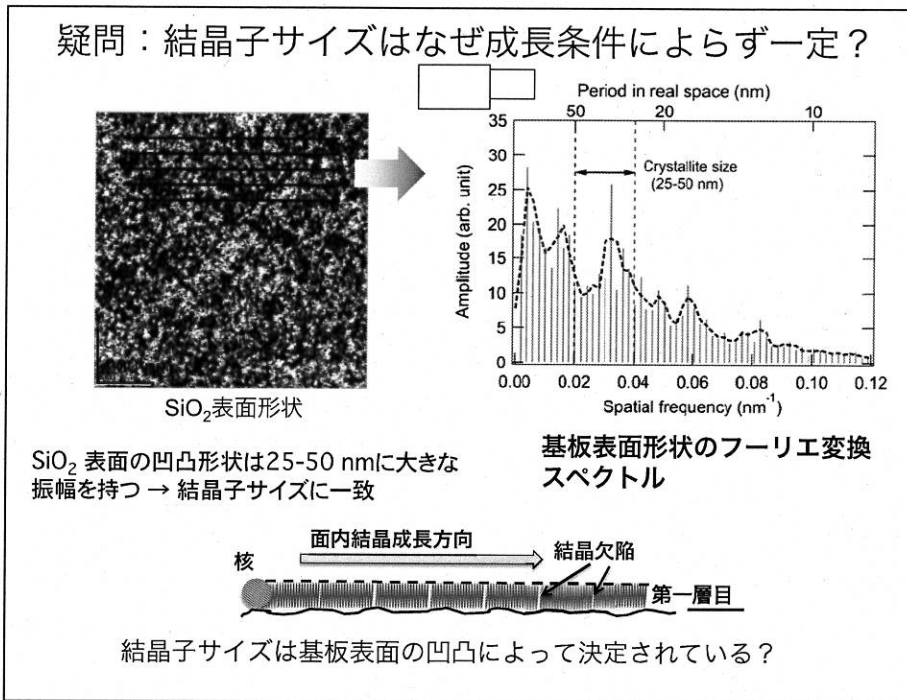


結晶子サイズの算出結果



バンド端ゆらぎの周期と結晶子サイズの比較





アウトライン

1. 有機エレクトロニクスとトランジスタ
2. ペンタセン結晶ドメイン中のHOMOバンド端ゆらぎ
3. GIXDによるバンド端ゆらぎの起源の解明
- 4. 結晶子サイズ決定要因の普遍性
5. まとめ



基板表面処理によってなぜ移動度が向上するのか？

ゲート絶縁膜の表面処理・・・唯一確立されている有機TFTの移動度向上手法

	処理方法	移動度 (cm ² /Vs)	それぞれの論文で述べられている向上理由
Lim et al., Synth. Met. (2005).	HMDS OTS	0.04→0.16 0.04→0.29	表面自由エネルギーの変化
Yagi et al., APL (2005).	HMDS	??→0.2	界面トラップ準位の減少
Abthagir et al., J.Phys.Chem.B (2009).	HMDS	0.19→0.31	結晶性の向上
Knipp et al., JAP (2003).	OTS	0.2→1.0	表面濡れ性の変化
Shtein et al., APL (2002).	OTS	0.02→0.5	基板と薄膜の密着性向上
Fritz et al., J.Phys.Chem. B (2005)	PS	0.02→0.62	基板表面粗さの変化
Angelis et al., APL (2005)	PMMA	0.25→1.4	界面のクオリティ向上

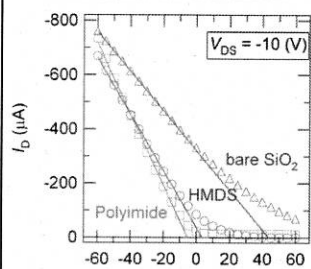
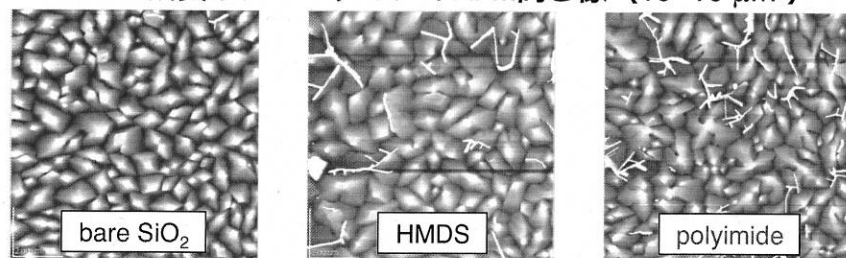
どういうメカニズムで移動度が向上するのかはよく分かっていない。



有機多結晶膜の移動度制限要因の内分けが明らかになっていなかったため、表面処理で何が変わったのかを定量的に評価できなかった。

結晶ドメインサイズと移動度の比較

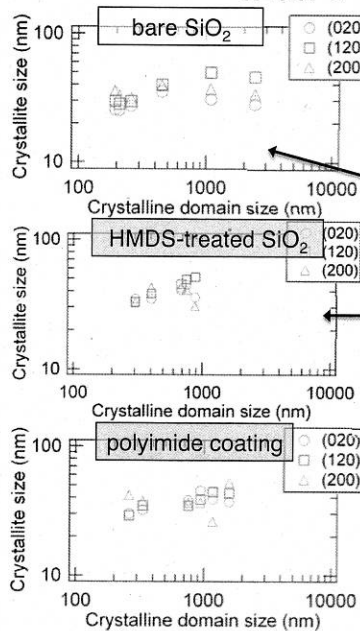
60°Cで成長したペンタセンのAFM高さ像 ($10 \times 10 \mu\text{m}^2$)



	結晶ドメインサイズ (nm)	移動度 (cm^2/Vs)
bare SiO_2	460	0.24
HMDS	740	0.37
polyimide	950	0.59

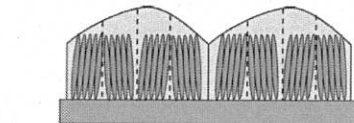
結晶ドメインサイズ、移動度共に
表面処理によって増大している。

結晶子サイズの比較



substrates	crystallite size (nm)
bare SiO_2	25-50
HMDS- treated SiO_2	32-60
polyimide coating*	26-60

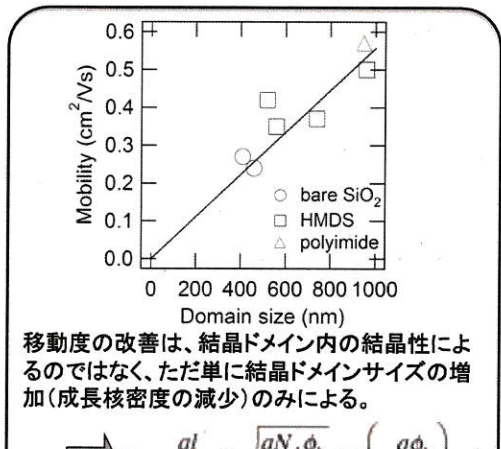
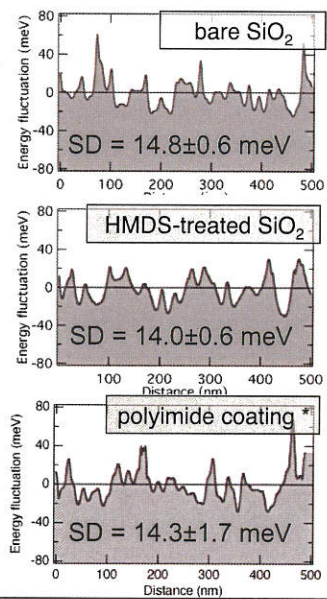
*collaboration with Prof. Majima (TITech)



結晶学的な差はまったくない！

HOMOバンド端ゆらぎの比較（成長温度 60°C）

こちらも差は無し！

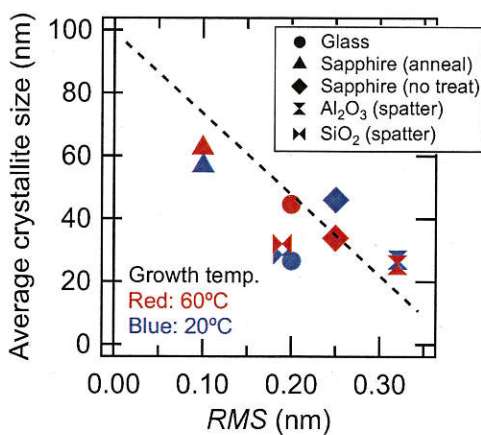


移動度の改善は、結晶ドメイン内の結晶性によるのではなく、ただ単に結晶ドメインサイズの増加(成長核密度の減少)のみによる。

$$\mu = \frac{qI}{2k_B T} \mu_h \sqrt{\frac{qN_A \phi_b}{2\kappa_s}} \exp\left(-\frac{q\phi_b}{k_B T}\right) \propto I$$

*collaboration with Prof. Majima (TITech)

では、基板表面を平坦にすれば
結晶子サイズは大きくなるのか？



松原亮介 他, 平成22年度
SPRING-8重点産業利用課題
成果報告書2010A,
236-239.

どうやら大きくなる
らしい！

現在「理想的な薄膜」の作製にチャレンジ中

まとめ

ペンタセン多結晶薄膜における結晶ドメイン内HOMOバンド端ゆらぎの起源を明らかにするため、in-plane GIXDによって結晶性評価を行った。

- ・強度、平行度の高い放射光を用い、アナライザ結晶によって分解能を高めることで、数十nmの結晶子サイズを見積もることに成功した。世界中で盛んに研究されているペンタセンでも初であった
- ・Hallの方法による解析から、不均一歪みよりも結晶子サイズが格子のコヒーレント長を決定していることが明らかになった。
- ・Scherrerの式から求めた結晶子サイズは成長条件によらずほぼ一定で、25~50 nmと見積もられた。
- ・この結晶子サイズは基板表面化学組成にはよらず、専ら表面の凹凸によって決まっていることを示す結果を得た。
- ・HOMOバンド端ゆらぎの周期（30~40 nm）は結晶子サイズと良い一致を示すことから、ゆらぎが結晶子境界によって生じている可能性が高いことを明らかにした。

謝辞：本研究成果のうち、放射光を用いたGIXD測定は、重点産業利用課題（2008A1813、2009A1827、2010A1874）として、SPring-8 BL-46XUを利用して行われました。

